

京都大学工学部 正員 松本 勝 白石成人

1. まえがき

本研究は現在計画中の本州四国連絡橋因島大橋の架設時の耐風性を調べるために、前回の報告¹⁾に継続して、図1に示す評価手順によって、検討を加えたものである。架設形式としては補剛剛柱を両側タワーより順次張り出されるものを対象とし、両側タワー部の張り出し長は等しく、その和と中央スパン長に対する比率(%)表示)によって架設段階を示すものとする。

2. 架設時の振動特性

本州四国連絡橋公団によって実施された因島大橋架設時の振動解析結果をもとにして得られた、各架設段階における封称1次、逆封称1次モードに対する単位スパン長当たりの等価質量 m_{eq} 、等価質量慣性モーメント I_{eq} ^{1), 2)}の結果を図2に示す。図に示されるように、これらの m_{eq} 、 I_{eq} は架設初期に向うに従って次々に大きくなることが知られる。

3. 風洞実験結果

実橋の1/64.6 縮尺=次元剛体模型(スパン長93m、トラス充実率19.4%、グレーティング床板率21.5%)を対象に、完成系(sy-1)、架設系(sy-1, asy-1)、71.5%asy-1)について迎角60°、30°、0°、(-30°、-6°)と変化させて実験を行なった。なお模型断面形状は完成系、架設系共に同一とし、振動条件のみを変化させた。実験条件1例を表1($\alpha=60^\circ$)に示す。このような条件のもとで得られた、流れ変速度に比例する非定常空気力係数 A_2^* ($2\bar{\phi}=0.08 \text{ rad.}$)結果を図3に示す。図に示されるように、実験条件の違いによらず A_2^* は得られていっている。なお迎角30°の場合には、実験条件の違いにより A_2^* は変化した。このような A_2^* を得るには、表1の実験条件(迎角 $\alpha=60^\circ$)を用いて式(1)の係数 b_1, b_2, b_3 を求める。

TEST CASE	$m(\text{kg s}^2/\text{m}^2)$	$I(\text{kg s}^2)$	w_y/w_x	$\delta_y(0.05 \text{ rad.})$	$\delta_z(10 \text{ mm})$
完成系 sy1	所要値	0.518	0.0131	2.18	0.03
	実験値	0.568	0.0102	2.17	0.0259
架設系 71.5% asy1	所要値	0.507	0.0128	1.926 (0.03)	0.0258 (0.03)
	実験値	0.529	0.0122	1.870	0.0256
架設系 71.5% asy1	所要値	0.508	0.0126	2.394 (0.03)	0.0253 (0.03)
	実験値	0.537	0.0137	1.840	0.0244

表1. 実験条件(迎角 $\alpha=60^\circ$)

流れ変速度($2\bar{\phi}$)、0.02, 0.05, 0.08, 0.12 radについて求め、各換算風速値のとて次式によてべき級数展開による近似を行なった。

$$A_2^*(V, 2\bar{\phi}) = b_0(V) + b_1(V) \cdot (2\bar{\phi}) + b_2(V) \cdot (2\bar{\phi})^2 + b_3(V) \cdot (2\bar{\phi})^3 \quad (1)$$

4. 実橋の空力特性の検討

i) 非定常空気力係数 A_2^* : 振動モードを有する実橋では、式(1)の係数 b_1, b_2, b_3

はそれぞれ表2に示される $\beta_1, \beta_2, \beta_3$ によって補正される。¹⁾ ($\beta_m =$

$\int_{-\pi}^{\pi} \frac{m}{\rho} d\theta / \int_{-\pi}^{\pi} \rho^2 d\theta$, β_1 : 柱張り出し長,

β_2 : j次モード周数絶対値) 係数 b_j を用いてフリッタ零発振風速を議論す

STEP	mode	β_1	β_2	β_3
完成系	sy1	0.8359	0.7315	0.6580
	asy1	0.8488	0.7500	0.6791
架設系 94.5%	sy1	0.8115	0.6917	0.6074
	asy1	0.8855	0.8045	0.7425
架設系 71.5%	sy1	0.8513	0.7541	0.6843
	asy1			

表2. モード周数による補正係数

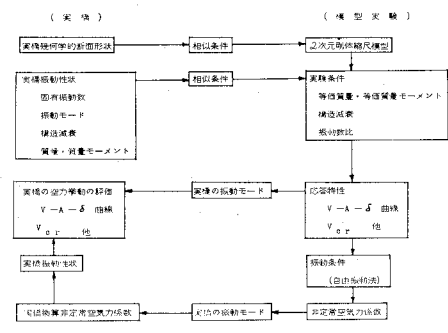
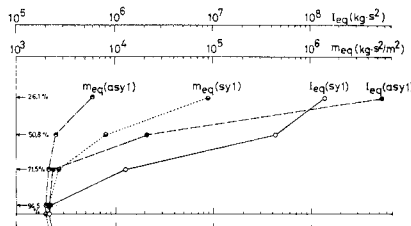
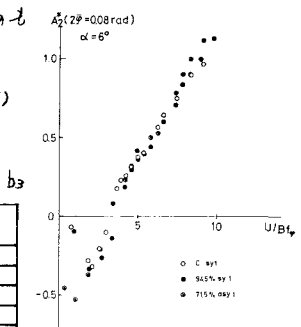


図1. 評価手順ブロック図

図2. m_{eq}, I_{eq} の変化図3. A_2^* 図 ($\alpha=60^\circ$)

ることができる。迎角 6° の場合、 b_0 回 ($A_{2p}^*(2\bar{\varphi}_j=0)$) を図4に、 $A_{2p}^*(2\bar{\varphi}_j=0.04 \text{ rad})$ 回を図5に示す。両図を比較すれば、 b_0 のオーバーラップが大きくなっているが、その一因として式(1)による $2\bar{\varphi}=0$ での A_2^* の推定精度を考えられる。

ii) フラッタ限界風速 U_{cr} : 以上のようにして得られた A_{2p}^* を用いて各架設段階におけるフラッタ限界風速を議論することができる。図6および図7は、図4(b)回中の一実験線で示された近似直線より得られたフラッタ発振限界風速 U_{cr} 結果を示す。 A_{2p}^* が振動条件 (I_{eg} , ω_g/ω_n 等) に依らず一定とすれば、図6より知られるように U_{cr} は [100% 架設系, $sy-1$, $\alpha=6^\circ$] よりも [71.5% 架設系, $asy-1$, $\alpha=6^\circ$] では最小となり、完成系の U_{cr} よりやや低下する。一方図7の $U_{cr}-\alpha$ 図では、迎角 3° の場合の結果は、完成系についての本四耐風設計基準を満足していないものも含まれているが、架設時の風荷重のように、架設時強風を完成系の約70%と見做すことができるとすれば、あるいは又、前述のようして架設時、完成時共同一断面形状を対象としたこと等を考慮すれば、今回得られた結果は一本 前述の基準をクリアしているものと考えられる。

iii) $V-A-\delta$ 曲線: 図8に $V-A-\delta$ の1例 (完成系 $sy-1$, $\alpha=6^\circ$) の場合の二次元実験結果と実橋への解析結果との比較) を示す。表2に示すように二次元実験より得られる A_2^* に対するモードの補正係数 ($\beta_1, \beta_2, \beta_3$) は、約84~65%の間にあり、 A_{2p}^* は A_2^* より大きく変化することはないことに對応して、図8に示されるように実験値と解析値 (組成構造減衰は風洞実験結果を用いた) には全体として大きな差ではなく、振れ幅が大きくなる領域でやや解析値 (実橋) の方が不安定化 (同じ風速増加に対して振れ幅増加が大) となっている程度である。

5. 結び

以上のことでより、因島大橋架設段階では、迎角 $6^\circ, 3^\circ$ では完成時に比べ、そのフラッタ限界風速が若干低下することも予想され、一本本四耐風設計基準に定められた条件を満足しているものと判断される。

最後に架設時振動解析等、多大の御協力、御援助を得ました本四耐風設計公団土建技術局の関係各位に深く謝意を表するものである。

- 参考文献 1) 松本, 白石, 土木学会第32回全国大会
2) 横山, 成田, 土木学会第31回全国大会

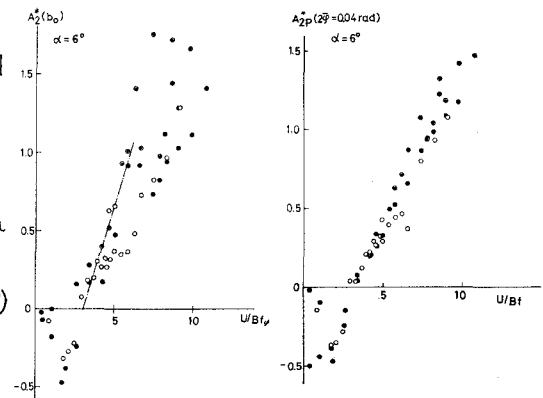


図4. $A_{2p}^*(2\bar{\varphi}_j=0)$ 回

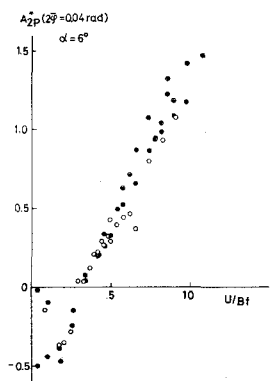


図5. $A_{2p}^*(2\bar{\varphi}_j=0.04 \text{ rad})$ 回

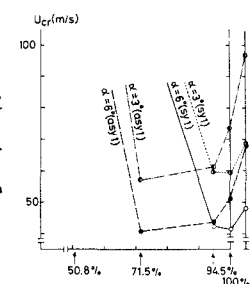


図6. U_{cr} の変化

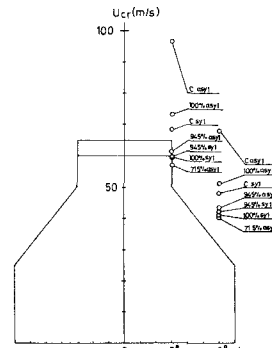


図7. $U_{cr}-\alpha$ 図

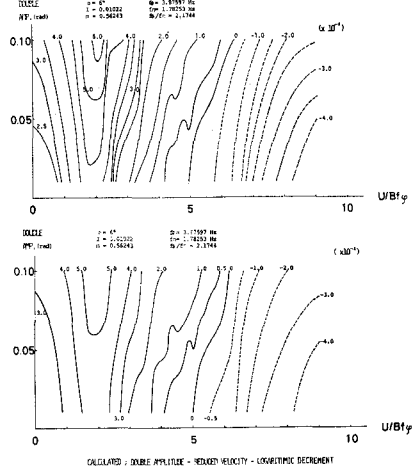


図8 $V-A-\delta$ 曲線の比較 (上段: 二次元実験結果, 下段: 実橋解析結果)